

名古屋大学 正会員 松尾 稔  
 京都大学 学生会員 田中 順  
 京都大学 正会員 井上 雄一

1 はじめに

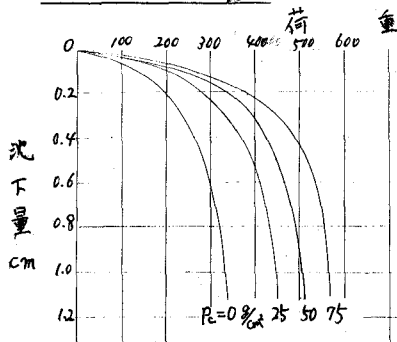
軟弱な粘性土地盤に大径の縦の固め砂杭を打設して、砂杭への荷重集中を期待するいわゆる複合地盤は、軟弱地盤の改良工法として近年広く用いられるようにならました。粘性土の圧密による強度増加を主とした目的ではなく、この工法では砂杭の支持力の正確な把握が大切である。この問題についてはこれまでに多くの研究がなされまきましたが、本報告は粘性土によく抱き込まれた砂の単杭について模型支持力実験を行ない、支持杭としての効果を検討したものである。

2 実験の目的と概要

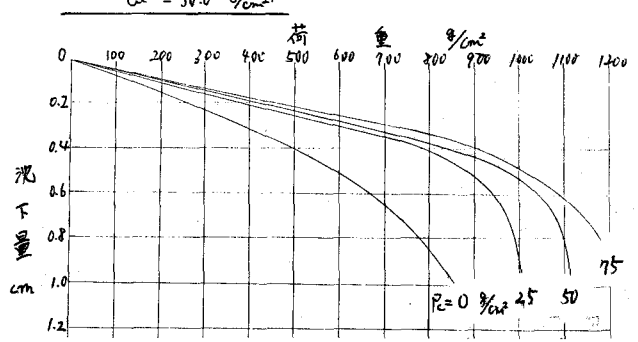
従来より、地盤の支持力における地盤の非排水強度（粘着力 $C_u$ ）、押え荷重、および載荷幅×自重の3つの要因効果には、互いに交互作用の少ないことが経験的に知られています。とくに自重項に関する「重合」は剛塑性理論によれば多くの場合安全側の近似として確かめられています。ところが、3つの要因うちプロトタイプと模型の間で要因水準値の大きく異なるものは載荷幅×自重である。したがって模型実験ではこの3つの要因効果うち、とくに前者2つを計測することとした。実験は18の水準組合で230回以上行なわれたが実験による支持力値を3つの要因効果に分解する方法は統計解析によった。そして分散分析によると前述の交互作用効果の有無も確かれた。交互作用効果がないことが確かめられれば、模型実験による支持力式に載荷幅×自重の項を独立につけ加えれば、プロトタイプについての支持力式における種々の見通しをもつておることが期待できますからである。

粘土地盤には粉末乾燥状態の深草粘土を同量の水でミキサーに2リットル混ぜたものを用い、砂杭には粗馬標準砂を用いた。砂杭および周辺粘土地盤への載荷は100kg/Massのアルーベングリングを介してジャッキを行なった。砂杭直径は9cm、14cmの2種があり、厚さ1cmの鉄板円板を7mmのエム板とともに載荷板として用いた。粘土側への押え荷重は砂杭直角の3倍の同様のドーナツ板を用いた。（実験方法、データ解析）最初粘土地盤への押え荷重を0にして砂杭のみに載荷する。荷重一沈下曲線が急激に折れ曲りを示すまで載荷をつづける。これで一定切り口、つぎに、粘土側へ押え荷重をかけ同様の支持力実験を行なう。このように運転した実験は有用なデータが得られるところでは、粘土がよく繰り返されると鉄板比が平均1.12であることによう。一連の載荷試験が終れば土壤を密封し水圧によって圧密させ、 $C_u$ を増加させた。荷重一沈下曲線の例を下図に示す。支持力が規定されたのに沈下量を用い、沈下量/直角の比を0.06に定めた。この比では、支持力が全ての実験を通じてほぼ一定

$$\text{砂杭径 } R = 9 \text{ cm} \\ C_u = 22.4 \text{ kg/cm}^2$$



$$\text{砂杭径 } R = 9 \text{ cm} \\ C_u = 50.0 \text{ kg/cm}^2$$



激を折れ子がり、直後に崩壊した。

実験の水準組合せと分散分析の結果を表に示す。表1表2はそれぞれ砂杭直徑が9cm, 14cmについての支持力(単位面積当たり)に対する、 $C_u$ ,  $p_c$  および押込荷重  $p_c$  の要因効果の不等間隔分散分析である。これより  $C_u \times p_c$  の相互作用効果の全くないことをわかった。表3、表4は砂杭直徑  $R$  と押込荷重  $p_c$  および、砂杭直徑  $R$  と  $C_u$  を要因とした分散分析表であり、これらも  $R$  が他のふたつを要因とし、交互作用効果を全くもたないことを示している。これより砂杭支持力  $P_s$  はつきの形式をもつことがわかった。

$$P_s = N_c f_1(C_u) + N_p f_2(p_c) + f_3(R) \quad (1)$$

表1、表2の結果を直交展開し、 $f_1, f_2$  を多项式表示すれば

$$(R=9\text{cm}) \quad P_s = 10.1 \cdot C_u + 3.68 \cdot p_c + m \quad | \quad (2)$$

$$(R=14\text{cm}) \quad P_s = 12.7 \cdot C_u + 2.45 \cdot p_c + m$$

ここで、 $f_3(R) = C_u$  については、直交多項式の係数が -0.029 ( $R=9\text{cm}$ ), -0.043 ( $R=14\text{cm}$ ) の2次項をつけて加えられたことがわかった。 $C_u$  の2次の効果が僅かに負の要因効果であることは繰返し載荷における  $C_u$  の減少が起因していると考えられるが詳細は検討していない。(2次の係数の単位は  $\text{cm}^2/\text{g}$ )

### 3 刚塑性仮定による数値計算

軸荷承剛塑性場の基礎方程式を差分法で数値計算した。塑性応力成分は、 $\sigma_{\theta}$  が受働域では0に、主働域で0.1をもつとしている。また砂杭周面における砂と粘土の応力成分については、前年度の実験<sup>1)</sup>における掘削面の観察から、周面上で粘土が最大でも断続的抗力  $C_u$  を發揮するとしている。X側粘土側は全応力解析で  $\phi=0$ 、砂側は有効応力解析で  $C=0, \phi=35^\circ$  とする、砂杭周面土<sup>2)</sup>

$$\bar{\sigma}_r = \bar{\sigma}_r^e, \quad \bar{\tau}_{rz} = \bar{\tau}_{rz}^e$$

$$\bar{\sigma}_z \neq \bar{\sigma}_z^e \quad C.S. \text{ は考慮されず、砂を無視する。}$$

以下は地表面の摩擦力が働くことを除いて得られたすべり線場の概要は左図のようであり、砂の内部摩擦角  $\phi = 35^\circ$  に対して得られた数値解に式(1)をあてはめて整理すれば

$$P_s = (12.8 \sim 13.8) C_u + (3.6 \sim 3.8) p_c + (1.0 \sim 1.4) R$$

となる。実験式と支持力係数の傾向がよく一致する。

### 4 おわりに

砂杭の支持力について実験結果を述べ、砂地盤のそれとほくらぶべくもないうが、粘土地盤のそれにはくらべて倍以上があり、押込荷重に対する支持力上界の効果も3倍程度にある。このことは、群杭効果等の研究をおこなう、最適荷重分配率の計算のための基礎的手段となる。2) 松尾洋樹・税所(1973)同題名、環境会全国大会

(要因水準の組合せ)

$R=9\text{cm}$	$C_u = 22.4, 28.0, 50.0, 53.4 \text{ g/cm}^2$
	$p_c = 0, 25, 50 \text{ g/cm}^2$
$R=14\text{cm}$	$C_u = 17.0, 23.0, 30.0 \text{ g/cm}^2$
	$p_c = 0, 25, 50 \text{ g/cm}^2$

(表-1)  $R=9\text{cm}, C_u, p_c$  分散分析表

要 因	自由度	分散	寄与率 (%)
$p_c$	1次	1	30.44**
	2次	(1)	(0.00)
$C_u$	1次	1	183.19**
	2次	1	28.17*
$p_c \times C_u$	(4)	(7.91)	3.2
Total	8	247.17	100.0

\*\*: 1%危険率, \*: 5%危険率でそれぞれ有意

(表-2)  $R=14\text{cm}, C_u, p_c$  分散分析表

要 因	自由度	分散	寄与率 (%)
$p_c$	1次	1	22.45**
	2次	(1)	(0.03)
$C_u$	1次	1	55.26**
	2次	1	15.50*
$p_c \times C_u$	(4)	(1.07)	
(誤差要因)	5	1.10	1.87
Total	8	100.0	

〔〕は等水準とみなし計算結果

(表-3)  $R, p_c$  分散分析表

要 因	自由度	分散比	寄与率 (%)
$R$	1	132.4**	38.9
$p_c$	2	101.7**	59.6
$R \times p_c$	2		1.5
Total	5		100.0

(表-4)  $R, C_u$  分散分析表

要 因	自由度	分散比	寄与率
$R$	1	5.04	4.3
$C_u$	1次	82.94	87.3
	2次	3.86	3.1
$R \times C_u$	2		5.3
Total	5		100.0

